

백서의 배양 골아세포와 파골세포에 대한 산화적 손상과 Glutamate 수용체 길항제의 영향

박승택^{1,2*} · 전승호¹ · 이병찬¹

1: 원광대학교 의과대학, 2: 원광의과학연구소

Effect of Oxidative Stress and Glutamate Receptor Antagonist on Cultured Rat Osteoblast and Osteoclast

Seung Taeck park^{1,2*}, Seung Ho Jeon¹, Byung Chan Lee¹

1: School of Medicine, 2: Institution of Wonkwang Science, Wonkwang University

It is well known that oxidative stress of reactive oxygen species(ROS) may be a causative factor in the pathogenesis of bone disorder. The purpose of this study was to evaluate the cytotoxicity of oxidative stress. Cell viability by MTS assay or INT assay, activity of glutathione peroxidase(GPx), lipid peroxidation(LPO) activity and cell viability. And also protective effect of glutamate receptors against ROS-induced osteotoxicity was examined by protein synthesis, alkaline phosphatase (ALP) activity and lactate dehydrogenase (LDH) activity in cultured rat osteoblasts and osteoclasts. XO/HX decreased cell viability and GPx activity, protein synthesis and ALP activity, but increased LPO activity and LDH activity. In the protective effect, N-methyl-D-aspartate (NMDA) receptor antagonists or AMPA/kainate receptor antagonists such as D-2-amino-5-phosphonovaleric acid (APV), 7-chlorokynurenic acid (CKA), 6-cyano-7-nitroquinoxaline-2,3-dione (CNQX) and 6,7-dinitroquinoxaline-2,3-dione (DNQX), NMDA receptor antagonists but AMPA/kainate receptor antagonists showed protective effect on xanthine oxidase (XO) and hypoxanthine (HX) in these cultures by the increase of protein synthesis, ALP activity.

Key words : Osteoblast, Osteoclast, Glutamate receptor

서 론

골아세포와 파골세포는 골조직에서 골형성과 파괴에 관여하는 세포로서 골대사의 주된 역할을 하고 있으며 만일 이들의 대사에 균형이 깨뜨려지면 골형성이거나 골질흡수에 불균형이 일어나 결국 골다공증이나 골절, 골비대와 같은 현상을 유발하게 된다^{1,2)}. 최근 의학의 발달로 노인인구가 크게 증가하였으며 이로 인해 골다공증이나 노인성 치매와 같은 질환발병의 빈도가 증가함으로서 노인성질환은 사회적 문제를 야기하게 되었으며 또한 서구식 식생활의 습관은 오히려 대장암이나 당뇨와 같은 만성난치성 질환의 발병률 증가를 초래시킨 결과를 낳게 되었다^{3,4)}. 이중 골다공증은 노인들에서 뿐만 아니라 폐경기 여성에 있어서도 골밀도의 감소

로 인한 골다공증이 증가추세에 있어 세계 각국은 이의 예방이나 치료에 대해 정책적으로 막대한 비용을 지원하고 있다^{2,5)}. 최근 골다공증의 병인의 하나로 활성산소가 제시되면서 활성산소의 산화적 측면에서 골다공증의 치료적 접근을 시도하고 있다^{1,6)}. 특히, 골다공증은 다양한 인자들이 관여하고 있기 때문에 이의 예방이나 치료 또한 어려움이 따르는데 지금까지 알려진 이의 병리적 요인으로는 알콜과 같은 유기용매를 비롯하여 흐르몬의 대사 이상, 코카인, 독성물질, 중금속등이 알려져 있다^{2,7)}. 활성산소는 산소라디칼을 매개로 세포막의 지질과산화반응을 비롯하여 세포내 항산화제인 glutathione이나 catalase, superoxide dismutase (SOD)의 활성감소를 초래하며 또한^{8,9)}, 세포에 존재하고 있는 N-methyl-D-aspartate(NMDA) 수용체의 과활성을 촉진시켜^{8,10)}, 이와 연관된 세포내 칼슘유입, Ca²⁺-dependent protein kinase C(PKC) 활성증가, c-fos나 cAMP, cGMP, G-protein과 같은 신호 전달체계의 활성화, 세포의 성장이나 분화에 관여하는 효소활성

* 교신저자 : 박승택, 전북 익산시 신용동 344-2, 원광대학교 의과대학

· E-mail : stpark@wonkwang.ac.kr · Tel : 063-850-6759

· 접수 : 2003/04/19 · 수정 : 2003/05/31 · 채택 : 2003/07/23

및 cytokine의 분비와 대사등에 영향을 줌으로서 결국 세포의 고사나 사멸을 초래한다고 한다^{11,12)}. 따라서 활성산소의 산화적 손상은 흥분성아미노산과 함께 세포사멸의 기전으로 밝혀졌으며 이의 방어를 위하여 항산화제를 비롯하여 칼슘저해제, 산소라디칼제거제, 성장인자등이 효과적인 것으로 보고된 바 있다^{13,14)}. 근래에 세포배양기술이 널리 보급되면서 각종 세포를 시험관내에서 대량으로 배양하면서 실험목적에 부합된 배양세포를 이용하여 병변의 손상모델을 제작한 다음 이들의 병리적 요인이나 작용현상등에 대한 기전규명은 물론 이를 이용한 병변의 치료적 접근을 시도함으로서 효과적인 치료약제의 개발과 새로운 치료방법의 확립을 위하여 꾸준히 연구를 시도하고 있다^{5,15,16)}.

본 연구는 활성산소가 골아세포와 파골세포에 미치는 영향과 활성산소의 산화적 손상에 대한 glutamate 수용체 길항제의 영향을 조사하기 위하여, 백서의 골아세포와 파골세포를 배양한 후 xanthine oxidase(XO)와 hypoxanthine(HX)의 독성효과를 정량적으로 분석하였으며 동시에 XO/HX의 세포독성에 대한 NMDA 수용체와 AMPA/kainate 수용체 길항제들의 영향을 조사하였다.

재료 및 방법

1. 세포배양

골아세포와 파골세포의 분리는 변형된 Takahashi 등¹⁾의 방법에 따라 시행하였다. 생후 3 일된 백서에서 적출한 대퇴골을 0.25% trypsin이 포함된 phosphate buffered saline(PBS)으로 처리한 후 36°C, 5% CO₂/95%air로 조절된 항온기 내에서 배양하였다. 배양 완료 후 10% fetal bovine serum (FBS, Gibco)이 포함된 Eagle's minimum essential medium(EMEM, Gibco)으로 3 회 세척 후 Pasteur 피펫으로 세포를 분리시켰다. 분리된 세포들은 poly-L-lysine (Sigma)으로 전 처리된 96-multiwell에 3 × 10⁶cells/well의 밀도로 세포를 분주하였다. 분주된 세포는 3 일 간격으로 새로운 배양액으로 교환하여 주었으며 10 일 동안 배양후 본 실험에 사용하였다.

2. 약제제조

본 실험에서 사용한 약제인 xanthine oxidase(XO, Sigma)는 1U/ml, 100mU/ml, 10mU/ml 및 1M, 100mM, 10mM의 저장액을, hypoxanthine (HX, Sigma), D-2-amino-5-phosphonovaleric acid (APV, Sigma), 7-chlorokynurenic acid (CKA, Sigma), 6-cyano-7-nitroquinoxaline-2,3-dione (CNQX, Sigma) and 6,7-dinitroquinoxaline-2,3-dione (DNQX, Sigma)는 각각 1M, 100mM, 10mM의 저장액을만들어 냉암소에 보관 후 실험당일 최종 농도로 희석하여 사용하거나 직접 필요한 양을 배양액에 첨가하여 사용하였다.

3. XO/HX의 노출

XO/HX가 골아세포와 파골세포에 미치는 영향을 조사하기 위하여 일정시간 배양중인 세포를 0.6% D-glucose가 포함된 minimum essential medium(MEM, Gibco)으로 3회 세척 후

0.1mM HX에 여러 농도의 XO가 포함된 배양액내에서 신경세포를 1~7 시간 동안 배양한 후 XO/HX가 세포에 미치는 독성효과를 조사하였다.

4. Glutamate 수용체 길항제의 처리

일정 시간 동안 배양이 완료된 골아세포와 파골세포를 PBS로 3 회 세척한 다음 20~50 μM의 농도로 각각 포함된 20 uM APV나 20 uM CKA에서 2시간 동안 전처리한 다음 이를 20 mU/ml XO/0.1 mM HX에 5 시간 동안 노출시킨 후 이의 영향을 조사하였다.

5. 세포생존율 분석

2,5-diphenyl-2H-tetrazolium bromide (MTS, Sigma) 분석과 INT(p-iodonitrotetrazolium violet (INT, Sigma) 분석은 골아세포와 파골세포를 일정시간 배양후 PBS로 3 회 수세한 다음 well당 최종 농도가 50 ul 씩 되도록 MTS나 INT를 넣어 각각 3 시간과 4 시간 동안 항온기에서 배양하였다. 배양 완료후 ELISA reader를 이용하여 각각 203 nm와 540 nm에서 흡광도를 측정하였다.

6. Glutathione peroxidase (GPx) 활성 측정

1mM EDTA가 함유된 0.1 M 인산완충액에 100ul glutathione reductase와 시료, 10 mM GSH를 넣은 후 NaN₃를 첨가하여 37°C에서 반응시켰다. 반응 완료후 흡광광도계로 340 nm에서 3 분 동안 NADPH의 농도변화를 측정하였다. 단위는 분당 산화된 NADPH 1u mole를 1 unit의 효소활성으로 하였다.

7. 지질파산화물 (LPO) 함양 측정

지질파산화물의 함량은 thiobarbituric acid (TBA)법에 의하여 측정하였다. 즉, 배양액의 균질액인 0.1 ml에 8.1% sodium dodecylsulfate 용액 0.2 ml, 20% acetic acid와 tribabituric acid를 동량으로 섞어 잘 혼합한 후 95°C에서 1 시간 동안 반응시켰다. 반응 완료후 n-butanol과 pyridine에 다시 반응시킨 다음 800 x g에서 원침시킨 다음 분광광도계로 532 nm에서 흡광도를 측정하였다.

8. SRB(sulforhodamine B) 측정

일정시간 동안 배양한 골아세포나 파골세포를 PBS로 3~4회 세척한 후 0.4% SRB를 well당 200μl씩 첨가하여 실온에서 1시간 동안 방치한 다음 10mM Tris buffer로 결합된 protein stain을 녹인 다음 ELISA reader로 측정하여 대조군과 비교 조사하였다.

9. ALP 활성분석

ALP의 활성분석은 Sigma kit를 사용하여 측정하였다. 즉, 배양중인 골아세포나 파골세포 20 ul를 4 mM Mg²⁺, mannitol 274 uM, buffer (pH 10.2)가 함유된 Sigma 용액에 잘 혼합하여 30°C에서 1~2분 동안 반응시킨 다음 흡광광도계를 이용하여 450 nm에서 흡광도를 측정하였다. 단백질의 측정은 Sigma kit로 측정하였으며 이 때 ALP 활성은 nmol/min/mg protein으로 표시하였으며 이를 백분율로 환산하였다.

10. LDH 활성분석

세포를 일정 시간 약재에 처리한 후 배양액내의 LDH 활성을 LDH kit (Atron lab, Japan)에 의하여 측정하였다. 즉, LDH kit의 효소기질액 1.0 ml와 검액인 용액을 넣어 37°C에서 잘 혼합하였다. 혼합 10 분 후에 3.0 ml 희석반응정지액을 넣어 반응을 멈춘 다음 분광광도계로 570 nm에서 흡광도를 측정하였다. 효소 활성은 환원된 nicotinamide adenine dinucleotide (NADH)로 표시하였으며 백분율로 환산하였다.

결과

1. Glutathione peroxidase (GPx) 활성조사

20mU/ml XO/0.1 mM HX가 포함된 배양액에서 백서의 골아세포와 파골세포를 5 시간 동안 노출시킨 후 GPx의 활성을 분석한 결과 골아세포에서는 대조군인 100% (3.12 ± 0.09 U/mg/protein)에 비하여 XO/HX 처리에서는 71.5% (2.23 ± 0.05 U/mg/protein)($p<0.05$)로 나타났으며 파골세포에서는 GPx 활성이 대조군인 100% (2.36 ± 0.06 U/mg/protein)에 비하여 73.3% (1.73 ± 0.02 U/mg/protein)($p<0.05$)로 나타났다(Table. 1).

Table 1. Effect of xanthine oxidase (XO)/hypoxanthine (HX) on glutathione peroxidase (GPx) activity.

| XO/HX (mU/ml/mM) | Glutathione peroxidase (U/mg/protein) | |
|------------------|---------------------------------------|-------------------|
| | osteoblast | osteoclast |
| control | 3.12 ± 0.09 | 2.36 ± 0.06 |
| 20 | $2.23 \pm 0.05^*$ | $1.73 \pm 0.02^*$ |

Cells were incubated with 20 mU/ml xanthine oxidase (XO) and 0.1 mM hypoxanthine (HX) for 5 hours. These results indicate the mean \pm SD for 6 experiments. * $p<0.05$

2) 지질과산화물 (LPO) 함량 측정

20mU/ml XO/0.1 mM HX가 포함된 배양액에서 백서의 골아세포와 파골세포를 5 시간 동안 노출시킨 후 LPO의 함량을 분석한 결과 골아세포에서는 대조군인 100% (47.3 ± 0.64 nmol/g)에 비하여 XO/HX 처리에서는 176.3% (83.4 ± 0.98 nmol/g)($p<0.05$)로 나타났으며 파골세포에서는 LPO의 함량이 대조군인 100% (41.6 ± 0.54 nmol/g)에 비하여 165.1% (68.7 ± 0.72 nmol/g)($p<0.05$)로 나타났다(Table. 2).

Table 2. Effect of xanthine oxidase (XO)/hypoxanthine (HX) on the content of lipid peroxidation (LPO).

| XO/HX (mU/ml/mM) | MDA content (nmole/g) | |
|------------------|-----------------------|-------------------|
| | osteoblast | osteoclast |
| control | 47.3 ± 0.64 | 41.6 ± 0.54 |
| 20 | $83.4 \pm 0.98^{**}$ | $68.7 \pm 0.72^*$ |

Cells were incubated with 20 mU/ml xanthine oxidase (XO) and 0.1 mM hypoxanthine (HX) for 5 hours. These results indicate the mean \pm SD for 6 experiments. * $p<0.05$, ** $p<0.01$

3) 세포생존율 측정

(1) MTS 정량

XO/HX에 대한 세포생존율을 조사하기 위하여 0.1 mM HX에 XO가 5~40 mU/ml의 농도로 각각 포함된 배양액에서 골아세포를 5 시간 동안 배양한 결과 세포생존율이 5 mU/ml에서 처

리한 경우 대조군에 비하여 78%로 나타났으며 10 mU/ml XO시간 배양에서는 63%로 나타났다. 또한 20 mU/ml와 40 mU/ml XO처리에서는 각각 51%($p<0.05$) 및 37%($p<0.01$)로 나타났다. 한편, 파골세포의 경우 세포생존율이 5 mU/ml에서 처리한 경우 대조군에 비하여 79%로 나타났으며 10 mU/ml XO시간 배양에서는 72%로 나타났다. 또한 20 mU/ml와 40 mU/ml XO처리에서는 각각 56%($p<0.05$) 및 42%($p<0.01$)로 나타났다(Fig. 1).

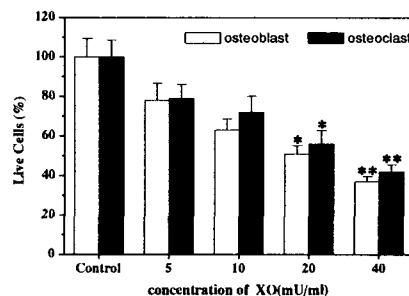


Fig. 1. Dose-dependent response relationship of xanthine oxidase(XO) in cultured osteoblasts and osteoclast of rat. Cytotoxicity was measured by MTS assay. The results indicate the mean \pm SD for 6 experiments. * $p<0.05$; ** $p<0.01$

(2) INT 정량

XO/HX에 대한 세포생존율을 조사하기 위하여 0.1 mM HX에 XO가 10~60 mU/ml의 농도로 각각 포함된 배양액에서 골아세포를 5 시간 동안 배양한 결과 세포생존율이 10 mU/ml에서 처리한 경우 대조군에 비하여 83%로 나타났으며 20 mU/ml XO시간 배양에서는 72%로 나타났다. 또한 40 mU/ml와 60 mU/ml XO처리에서는 각각 47%($p<0.05$) 및 25%($p<0.01$)로 나타났다. 한편, 파골세포의 경우 세포생존율이 10 mU/ml에서 처리한 경우 대조군에 비하여 75%로 나타났으며 20 mU/ml XO시간 배양에서는 62%로 나타났다. 또한 40 mU/ml와 60 mU/ml XO처리에서는 각각 52%($p<0.05$) 및 31%($p<0.01$)로 나타났다(Fig. 2).

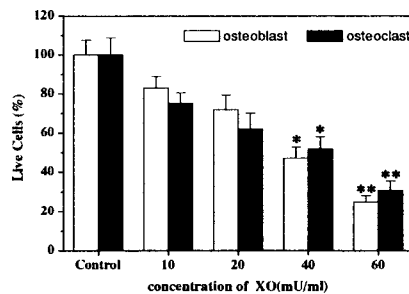


Fig. 2. Time-dependent response relationship of xanthine oxidase(XO) in cultured osteoblasts and osteoclast of rat. Cytotoxicity was measured by INT assay. The results indicate the mean \pm SD for 6 experiments. * $p<0.05$; ** $p<0.01$

4) 단백질합성 측정

파골세포와 골아세포를 각각 20 mU/ml XO/0.1 mM HX에 5시간 동안 처리하기 전에 NMDA 수용체 길항제인 APV와 CKA를 20 μ M 농도에서 각각 2 시간 동안 전처리한 후 각각 단백질합성에 미치는 영향을 조사하였다. 그 결과 골아세포의 경우

XO/HX만의 처리에서는 단백질합성이 대조군에 비하여 37.4%로 나타난데 비하여 APV 처리에서는 79.6%로 나타나 이는 XO/HX만의 처리에 비하여 유의한 증가를 나타냈으며($p<0.01$), CKA의 처리에서는 68.5%로 나타나 이 역시 XO/HX만의 처리에 비하여 유의한 증가를 나타냈다($p<0.05$). 한편, 파골세포에 있어서는 XO/HX만의 처리에서는 단백질합성이 대조군에 비하여 34.7%로 나타난데 비하여 APV 처리에서는 72.1%로 나타나 이는 XO/HX만의 처리에 비하여 유의한 증가를 나타냈다($p<0.01$). 또한 CKA의 처리에서는 65.9%로 나타남으로서 XO/HX만의 처리에 비하여 유의한 증가를 나타냈다($p<0.01$)(Fig. 3).

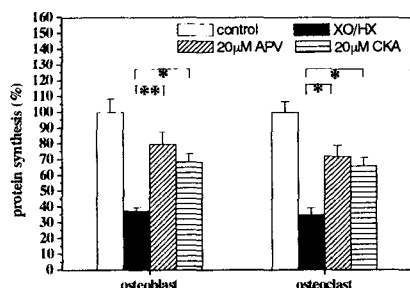


Fig. 3. Dose-dependent response relationship of NMDA receptor antagonists in protein synthesis. Cells were treated with 20 μ M APV or 20 μ M CKA before treatment of 20 μ M/ml xanthine oxidase (XO)/0.1 mM hypoxanthine (HX) for 5 hours. The results indicate the mean \pm SD for 6 experiments. * $p<0.05$, ** $p<0.01$

5) ALP 활성 측정

파골세포와 골아세포를 각각 20 mU/ml XO/0.1 mM HX에 5시간 동안 처리하기 전에 NMDA 수용체 길항제인 APV와 CKA를 40 μ M 농도에서 각각 2 시간 동안 전처리한 후 ALP 활성을 미치는 영향을 조사하였다.

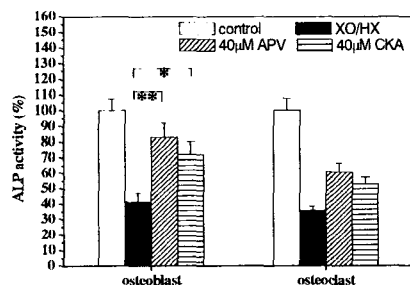


Fig. 4. Dose-dependent response relationship of NMDA receptor antagonists in ALP activity. Cells were treated with 40 μ M APV or 40 μ M CKA before treatment of 20 μ M/ml xanthine oxidase (XO)/0.1 mM hypoxanthine (HX) for 5 hours. The results indicate the mean \pm SD for 6 experiments. * $p<0.05$, ** $p<0.01$

그 결과 골아세포의 경우 XO/HX만의 처리에서는 ALP 활성이 대조군에 비하여 41.4%로 나타난데 비하여 APV 처리에서는 82.8%로 나타나 이는 XO/HX만의 처리에 비하여 유의한 증가를 나타냈으며($p<0.01$), CKA의 처리에서는 71.9%로 나타나 이 역시 XO/HX만의 처리에 비하여 유의한 증가를 나타냈다($p<0.05$). 한편, 파골세포에 있어서는 XO/HX만의 처리에서는 단백질합성이 대조군에 비하여 35.6%로 나타난데 비하여 APV 처리에서는 60.6%로 나타난데 비하여 CKA의 처리에서는 53.0%

로, APV와 CKA 처리에서는 XO/HX만에 비하여 다소 증가하였으나 유의성은 없었다(Fig. 4).

6) LDH 활성 측정

파골세포와 골아세포를 각각 20 mU/ml XO/0.1 mM HX에 5시간 동안 처리하기 전에 AMPA/kainate 수용체 길항제인 CNQX와 DNQX를 30 μ M 농도에서 각각 2 시간 동안 전처리한 후 LDH 활성을 미치는 영향을 조사하였다. 그 결과 골아세포의 경우 XO/HX만의 처리에서는 LDH 활성이 대조군에 비하여 145.8%로 나타난데 비하여 CNQX 처리에서는 121.2%로 나타났으며, DNQX의 처리에서는 134.6%로 나타났다. 한편, 파골세포에 있어서는 XO/HX만의 처리에서는 LDH 활성이 대조군에 비하여 151.3%로 나타난데 비하여 CNQX 처리에서는 130.1%로, DNQX의 처리에서는 123.3%로 각각 나타났다(Fig. 5).

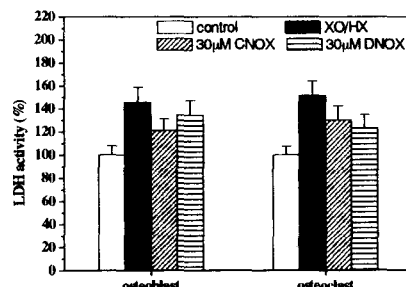


Fig. 5. Dose-dependent response relationship of AMPA/kainate receptor antagonists in LDH activity. Cells were treated with 30 μ M CNQX or 30 μ M DNQX before treatment of 20 μ M/ml xanthine oxidase (XO)/0.1 mM hypoxanthine (HX) for 5 hours. The results indicate the mean \pm SD for 6 experiments.

고 칠

활성산소는 치매를 비롯하여 당뇨나 뇌졸증과 같은 각종 난치성 질환의 병인으로 밝혀지고 있다^{4,14)}. 또한 활성산소와 골세포간의 연구에서 활성산소가 골다공증의 병인으로 밝혀지면서 골세포에 있어서 활성산소의 산화적 손상에 대한 연구가 진행되고 있다^{1,2)}. 따라서 본 연구에서는 활성산소가 골아세포에 미치는 독성효과를 조사하기 위하여 백서의 골아세포와 파골세포에 0.1 mM hypoxanthine (HX)에 xanthine oxidase (XO)가 5~60 mU/ml의 농도로 각각 포함된 배양액에서 5 시간 동안 배양한 결과 처리농도에 비례하여 골세포 모두에서 세포생존율을 유의하게 감소시켰다. 본 실험의 이같은 결과는 XO/HX가 백서의 골세포에 독성효과를 가지고 있음을 증명하고 있으며^{1,13)}, 이러한 현상은 아마도 XO/HX가 골세포의 항산화계의 효소에 영향을 주어 효소의 활성저하에 의한 세포손상을 초래하였을 가능성이 클 것으로 생각된다^{15,17)}. 따라서 본 연구에서는 항산화효소의 하나인 glutathione peroxidase (GPx)의 활성에 미치는 XO/HX의 영향을 조사한 결과 20 mU/ml XO/0.1 mM HX에서 5 시간 동안 처리한 바 GPx의 활성이 감소한 것으로 나타났다. 이는 활성산소의 산화적 손상이 항산화계와 밀접한 관련이 있음을 증명하고 있다¹⁶⁾. 한편, XO/HX가 골세포의 지질과산물 (LPO)의 함량에 미치는 영향을 조사하기 위하여 20 mU/ml XO/0.1 mM HX에서 골아세포와 파골세포를 5 시간 동안 처리한 결과 대조군에

비하여 골세포 모두에서 LPO의 함량이 현저히 증가하였다. 이는 산화적 손상이 지질과산화반응을 유도한다는 타 연구자의 결과와 일치함을 알 수 있었다¹²⁾. 한편, NMDA 수용체 길항제인 APV와 CKA가 XO/HX의 산화적 손상에 미치는 영향을 골세포를 대상으로 단백질합성과 ALP 활성에 미치는 영향을 조사하였다. 그 결과 20 uM APV와 20 uM CKA를 XO/HX의 처리전 2 시간 동안 전처리 한 결과 골세포 모두에서 XO/HX만을 처리하여 준 실험군에 비하여 유의한 단백질합성율의 증가를 보였다. 그러나, ALP 활성에 있어서는 파골세포보다 골아세포에 있어서 APV와 CKA가 유의한 ALP 활성의 증가를 나타냈다. 이러한 실험 결과는 XO/HX가 골세포의 단백질합성계와 ALP에 영향을 미침으로서 세포독성을 나타낸 것을 알 수 있었다^{7,11)}. 또한 NMDA 수용체 길항제들은 XO/HX의 산화적 손상을 방어하는 약리활성을 가지고 있어 XO/HX의 손상으로부터 세포를 보호한 것으로 생각된다¹⁰⁾. 한편, AMPA/kainate 수용체 길항제가 XO/HX에 의해 손상되는 세포막에 미치는 영향을 조사하기 위하여 30 uM CNQX와 30 uM DNQX를 20 mM XO/0.1 mM HX를 골세포에 처리하기 2 시간 전에 전처리한 다음 이들이 LDH 활성에 미치는 영향을 조사한 바 골아세포와 파골세포 모두에서 XO/HX만의 처리에 비하여 다소 LDH의 활성을 감소하였으나 유의성은 나타나지 않았다. 따라서 본 실험의 결과는 세포막의 지질과산화작용에 NMDA 수용체가 AMPA/kainate 수용체 보다 더욱 밀접한 관련이 있음을 제시하고 있다^{10,12)}. 그러나 이에 대한 더욱 자세한 기전규명을 위해서는 두 종류의 수용체를 대상으로 흥분성아미노산 및 세포내 칼슘유입과 같은 산화적 손상의 기전과 관련이 깊은 인자들에 대한 연구가 동시에 이루어져야 할 것으로 생각된다.

결 론

골병변에 있어 산화적 손상은 매우 중요한 병리적 요인의 하나로 알려져 있다. 본 연구는 백서의 배양 골아세포와 파골세포에 대한 xanthine oxidase(XO)와 hypoxantine (HX)의 산화적 손상을 glutathione peroxidase (GPx)의 활성을 비롯하여 세포생존율 및 지질과산화불의 함량을 조사하였으며 동시에 XO/HX에 대한 NMDA 수용체 길항제와 AMPA/kainate 수용체 길항제들의 영향을 단백질합성과 ALP 활성 및 LDH 활성의 측면에서 조사하였다. 그 결과 XO/HX는 골아세포와 파골세포에 처리한 농도에 비례하여 세포의 생존율을 유의하게 감소시켰다. 또한 항산화효소인 GPx의 활성감소를 비롯하여 골세포의 지질과산화불의 함량을 증가시킴으로서 세포의 손상을 유도하였다. 한편, XO/HX에 대한 NMDA 수용체 길항제인 APV와 CKA는 골세포 모두에 대하여 XO/HX로 저해된 단백질합성과 ALP 활성을 증가시킴으로서 XO/HX에 의한 세포손상으로부터 세포를 방어하였다. 이에 비하여 AMPA-kainate 수용체 길항제인 CNQX나 DNQX는 XO/HX에 의해 증가된 LDH 활성을 방어하는데 유의성을 나타내지 않았다.

이상의 결과에서 XO/HX는 백서의 배양 골아세포와 파골세

포에 세포독성을 나타냈으며 APV와 CKA와 같은 NMDA 수용체 길항제가 XO/HX의 산화적 손상을 방어하는데 효과적인 것으로 나타났다.

감사의 글

이 논문은 2002년도 한국학술진흥재단의 지원에 의하여 연구되었음(KRF-2002-041-E00160)

참 고 문 헌

- Takahashi N, Suda T : Osteoclast-like cell formation and its regulation by osteotropic hormones in mouse bone marrow cultures. *Endocrinology*, 122:1373-1382, 1988.
- Hong GY, Park ST, Jeon BH, Seo EA : Effect of Ginseng Radix Against Osteoblasts Damaged by Endocrine Disrupting Chemicals. *Korean J Oriental Physiol & Pathol.* 16(2):338-342, 2002.
- McCall AL: The impact of diabetes on the CNS. *Diabetes* 41:557-570, 1992
- Camerone NE, Cotter MA, Maxfield EK : Antioxidant treatment prevents the development of peripheral nerve dysfunction in streptozotocin-diabetic rats. *Diabetologia* 36:299-304, 1993.
- Mosmann T: Rapid colorimetric assay for the cellular growth and survival: Application to proliferation and cytotoxic assays. *J Immun Methods* 65:55-63, 1983.
- Pellegrini-Ciampietro DE, Cherici G, Alesiani M, Carrla V, Moroni F: Excitatory amino acid and free radical formation may cooperate in the genesis of ischemia-induced neuronal damage. *J Neurosci* 10:1035-1041, 1990.
- Borenfreund E, Babich H, Martin-Alguacil N: Comparisons of two in vitro cytotoxicity assays-the neutral red and tetrazolium MTT tests. *Toxic in Vitro* 2:1-6, 1988.
- Park ST : Study on the effect of iron-chleator on oxygen radical-induced neurotoxicity. *Korean J Phys Anthrop* 8: 113-121, 1995.
- 차배천, 이승배, 임태진, 이광희 : 오배자 항산화 활성성분과 자유라디칼 소거효과. *생약학회지* 31:185-190, 2000.
- Dumuis A, Sebben M, Haynes L, Pin J-P and Bockaert J : NMDA receptors activate the arachidonic acid cascade system in striatal neurons. *Nature (London)* 336:68-70, 1988.
- Kontos H, Wei E, Ellis E Jenkins L, Povlishock J, Rowe G, Hess M : Appearance of superoxide anion radical in cerebral extracellular space during increased prostaglandin synthesis in cat. *Circ Res* 57:142-151, 1985.
- Jain SK: Hyperglycemic can cause membrane lipid peroxidation and osmotic fragility in human red blood

- cells. J Biol Chem 264:21340-21345, 1989.
13. Halliwell B : Reactive oxygen species and the central nervous system. J Neurochem 59:1609-1623, 1992.
14. Jang YJ, Park H, Kim HS, Hong HN, Kim MK: The role of increased oxidative stress in the development of diabetic nephropathy. Korean J Pharmacology 31:95-102, 1995.
15. Niki E, Saito T, Kawakami A and Kamiya Y: Inhibition of oxidation of methyl linoleate in solution by vitamin E and vitamin C. J Biol Chem 259:4177-4182, 1984.
16. Bracco F, Scarpa M, Rigo A, Battistin L : Determination of superoxide dismutase activity by the polarographic method of catalytic currents in the cerebrospinal fluid of aging brain and neurologic degenerative diseases. Proc Soc Exp Biol Med 196:36-41, 1991.
17. Kim YS, Kim SU : Oligodendroglial cell death induced by oxygen radicals and its protection by catalase. J Neurosci Res 29:100-106, 1991.